

УДК 539.3

## РАСЧЕТ ИЗНОСА РАДИАЛЬНОГО ПОДШИПНИКА СКОЛЬЖЕНИЯ ПРИ СЛУЧАЙНО ИЗМЕНЯЮЩИХСЯ ТЕМПЕРАТУРЕ И НАГРУЗКЕ

© 2023 г. И. А. Солдатенков<sup>a,\*</sup>

<sup>a</sup>Институт проблем механики им. А.Ю. Ишлинского РАН, Москва, Россия

\*e-mail: iasoldat@hotmail.com

Поступила в редакцию 29.08.2022 г.

После доработки 10.09.2022 г.

Принята к публикации 19.09.2022 г.

Описывается стохастическая модель процесса изнашивания тонкого покрытия в радиальном подшипнике скольжения, учитывающая случайные изменения температуры подшипника и внешней нагрузки. Приводятся результаты численного анализа процесса изнашивания подшипника применительно к условиям работы в открытом космосе на околоземных орбитальных станциях. Оценивается важность учета случайных изменений температуры и внешней нагрузки для прогнозирования износа подшипника, в частности, его долговечности.

**Ключевые слова:** контактная задача, износ, покрытие, радиальный подшипник скольжения, температура, нагрузка

**DOI:** 10.31857/S0572329922600669, **EDN:** DHFXLU

**Введение.** Расчет радиального подшипника скольжения на износ является предметом многочисленных работ, в которых учитывались различные факторы процесса изнашивания: смазка, поверхностная шероховатость, наличие покрытия, трение, фрикционный разогрев, перекос вала и др. [1–5].

Ниже описывается метод расчета процесса изнашивания антифрикционного покрытия (тонкого вкладыша) в радиальном подшипнике скольжения в условиях случайно изменяющихся температуры и внешней нагрузки (величина, направление). Подобные условия характерны, например, для узлов трения, работающих в открытом космосе на околоземных орбитальных станциях [6–9]. Изменение температуры узла трения в этом случае обусловлено его заходом в тень Земли или станции и по разным оценкам лежит в диапазоне от  $-150^{\circ}\text{C}$  до  $+150^{\circ}\text{C}$ . Для таких узлов трения также следует ожидать значительного разброса величины и направления внешней нагрузки, что обуславливается отсутствием постоянной силы тяжести, как основного фактора нагружения.

Отметим, что ранее был выполнен расчет изнашивания радиального подшипника скольжения применительно к условиям работы на орбитальных станциях, который учитывал периодическое изменение температуры подшипника, однако нагрузка при этом считалась постоянной [10]. Также был предложен метод расчета радиального подшипника скольжения на износ в условиях случайно изменяющейся внешней нагрузки при неизменной температуре [3].

Цель описываемых ниже исследований состоит в учете и оценке значимости факторов случайного изменения температуры и внешней нагрузки при моделировании процесса изнашивания радиального подшипника скольжения с покрытием.

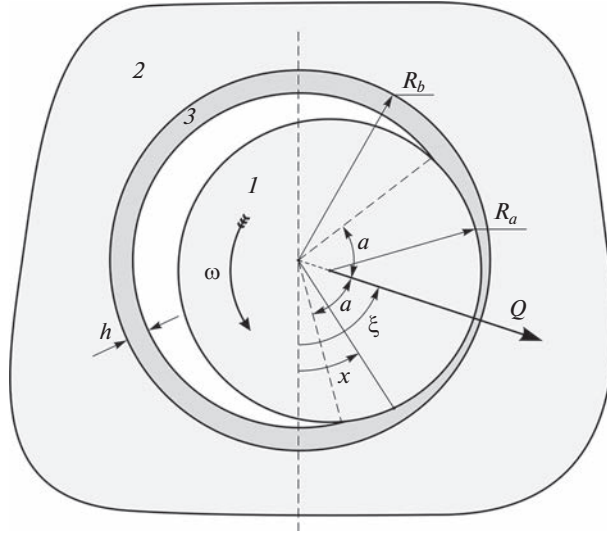


Рис. 1. Схема контакта вала 1 с покрытием 3, связанным с обоймой 2 радиального подшипника скольжения.

**1. Постановка задачи и основные уравнения.** Рассмотрим радиальный подшипник скольжения (далее – подшипник), в котором вращающийся вал 1 взаимодействует с тонким покрытием 3, связанным с обоймой 2 (рис. 1). Контактное взаимодействие вала с покрытием определяется величиной  $Q$  внешней нагрузки на вал и углом  $\xi \in [-\pi, \pi]$  ее приложения, который отсчитывается от вертикали (рис. 1). Соответствующая область контакта задается угловым размером  $a$ . Все элементы подшипника имеют одинаковую температуру  $T$  и при ее изменении размеры подшипника меняются вследствие теплового расширения тел. Точки поверхности покрытия задаются с помощью угловой координаты  $x$ .

Считается, что покрытие в исходном состоянии, т.е. при  $t = 0$ , имеет постоянную толщину  $h_0$ . В результате взаимодействия с валом покрытие изнашивается и это приводит к изменению его толщины  $h$  как по координате  $x$ , так и во времени  $t$ . В каждый момент процесса изнашивания покрытия величины  $T$ ,  $\xi$ ,  $Q$  могут принимать случайные значения, т.е. они являются случайными функциями времени  $t$  (процессами) [11, 12].

Скорость износа покрытия в точке  $x$  в каждый момент времени  $t$  определяется величиной контактного давления  $p(x, t)$ , скоростью  $V$  скольжения и температурой  $T$  подшипника согласно закону изнашивания [1, 3]:

$$\frac{\partial W(x, t)}{\partial t} \equiv -\frac{\partial h(x, t)}{\partial t} = F(p(x, t), V, T) \quad (1.1)$$

где  $W(x, t) = h_0 - h(x, t)$  – линейный износ покрытия, вид функции  $F(p, V, T)$  будет конкретизирован ниже при численном анализе.

Скорость скольжения определяется по формуле  $V = \omega R_a$ , в которой  $\omega$  – угловая скорость вращения вала, считающаяся постоянной,  $R_a$  – радиус вала, износом которого будем пренебречь. Отметим, что при изменении температуры радиус  $R_a$  может меняться вследствие теплового расширения вала. Однако это изменение мало по сравнению с самим радиусом  $R_a$  и не оказывает заметного влияния на скорость скольжения  $V = \omega R_a$ , которую, как и угловую скорость  $\omega$ , можно считать постоянной.

Допустим, что случайные изменения величин  $T, \xi, Q$  приводят к тому, что на поверхности изнашиваемого покрытия отсутствует приработанная к форме вала лунка износа. Вместо этого износ распределяется достаточно равномерно по поверхности покрытия, и это позволяет пренебречь изменением толщины изношенного покрытия в пределах области контакта по сравнению с самой толщиной, положив

$$h(x, t) = h(\xi, t), \quad x \in [-a, a] \quad (1.2)$$

Толщину  $h$  тонкого покрытия можно считать малой по сравнению с размером  $2aR_a$  области контакта. Кроме того, предполагая, что модуль упругости покрытия значительно меньше модулей упругости вала и обоймы подшипника, будем считать вал и обойму абсолютно жесткими.

Ставится задача: построить стохастическую модель процесса изнашивания покрытия в подшипнике, учитывающую случайный характер величин  $T, \xi, Q$ .

Для построения такой модели рассмотрим вначале контактное взаимодействие вала и покрытия при некоторых фиксированных значениях  $T, \xi, Q$  и заданной толщине  $h(x, t)$ .

Учитывая сделанные выше допущения относительно толщины и модуля упругости покрытия, а также пренебрегая силой трения, воспользуемся моделью Винклера [13] для описания упругого поведения покрытия. В результате можно прийти к следующему выражению для контактного давления [3]

$$p(x, t) = \mathcal{P}(x, t; T, \xi, Q) \equiv \begin{cases} \frac{\Delta}{B(T)h(\xi, t)} \left( \frac{\cos(x - \xi)}{\cos a} \right), & \cos(x - \xi) \geq \cos a \\ 0, & \cos(x - \xi) < \cos a \end{cases} \quad (1.3)$$

где

$$\Delta = R_b(T) - R_a(T) - h(\xi, t) \quad (1.4)$$

— радиальный зазор подшипника,  $\Delta \ll R_a(T)$ ,

$$B(T) = \frac{(1 - 2\nu)(1 + \nu)}{(1 - \nu)E(T)} \quad (1.5)$$

— коэффициент податливости покрытия,  $E$  и  $\nu$  — модуль упругости (Юнга) и коэффициент Пуассона покрытия, размер  $a$  области контакта находится из уравнения

$$\frac{a}{\cos a} - \sin a = \frac{QB(T)h(\xi, t)}{R_a(T)\Delta} \quad (1.6)$$

В представленных выражениях не учитывается изменение толщины  $h$  покрытия в результате его теплового расширения, что допустимо для тонкого покрытия — соответствующее обоснование дано ниже (раздел 2). Кроме того, без ограничения общности рассмотрения, коэффициент Пуассона в выражении (1.5) считается независимым от температуры.

Примем теперь во внимание случайный характер величин  $T, \xi, Q$  и введем в рассмотрение соответствующую функцию плотности вероятности  $\rho(T, \xi, Q, t)$  [11]. В дальнейшем, для упрощения записи формул будут использоваться обозначения:

$$X_1 = T, \quad X_2 = \xi, \quad X_3 = Q \quad (1.7)$$

Для описания рассматриваемого процесса изнашивания покрытия воспользуемся известным подходом, основанным на статистическом осреднении закона изнашивания (1.1) по параметрам  $T, \xi, Q$  [3]. Результатом такой операции является равенство

$$\frac{\partial h(x, t)}{\partial t} = - \int_{\{X\}} F(\mathcal{P}(x, t; X), V, X_1) \rho(X, t) dX \quad (1.8)$$

в котором  $h$  уже представляет собой среднее статистическое значение толщины покрытия. Для краткости символом  $X$  здесь обозначается совокупность величин  $X_1, X_2, X_3$ , запись  $\{X\}$  обозначает множество допустимых значений этих величин,  $dX = dX_1 dX_2 dX_3$ .

Если случайные величины  $X_1, X_2, X_3$  в каждый момент времени  $t$  являются независимыми и стационарными как случайные процессы, то [11, 12]:

$$\rho(X, t) = \rho_1(X_1) \rho_2(X_2) \rho_3(X_3) \quad (1.9)$$

где  $\rho_i(X_i)$ ,  $i = 1, 2, 3$  – функция плотности вероятности величины  $X_i$ . Если дополнительно какая-либо из величин  $X_i$  не является случайной и принимает постоянное значение  $\hat{X}_i$ , то в равенстве (1.8) следует формально положить

$$\rho_i(X_i, t) = \delta(X_i - \hat{X}_i), \quad i = 1, 2, 3 \quad (1.10)$$

где  $\delta(X)$  – дельта-функция.

Указанная выше функция  $\mathcal{P}(x, t; X)$  определяется равенствами (1.3)–(1.6) с учетом обозначений (1.7), поэтому равенство (1.8) представляет собой дифференциальное уравнение, которое при начальном условии

$$h(x, 0) = h_0 \quad (1.11)$$

описывает кинетику изменения толщины изнашиваемого покрытия в терминах средних значений. Равенства (1.3)–(1.6), (1.8) составляют стохастическую модель процесса изнашивания покрытия в подшипнике и тем самым решают поставленную выше задачу.

Одной из важнейших характеристик процесса изнашивания покрытия является его долговечность, которая определяется как время  $t_*$  полного изнашивания покрытия в некоторой точке, т.е.

$$\min_{x \in [-a, a]} h(x, t_*) = 0 \quad (1.12)$$

В дальнейшем для сравнения будут использоваться результаты расчета процесса изнашивания покрытия в подшипнике при детерминированной постановке, т.е. при неизменной температуре и постоянной по величине и направлению внешней нагрузке. Для решения такой задачи необходимо учитывать локальный характер изнашивания покрытия, который выражается в существовании приработанной к валу лунки износа с монотонно возрастающим размером  $a(t)$  области контакта [2, 3, 13]. Такой процесс описывается уравнением (1.1) с начальным условием (1.11) и равенствами

$$p(x, t) = \frac{1}{Bh(x, t)} \left[ \Delta \left( \frac{\cos x}{\cos a(t)} - 1 \right) - W(x, t) \right], \quad x \in [-a(t), a(t)] \quad (1.13)$$

$$Q = R_a \int_{-a(t)}^{a(t)} p(x, t) \cos x dx \quad (1.14)$$

первое из которых является следствием условия контакта вала и покрытия, а второе представляет собой условие равновесия вала [3]. Подстановка выражения (1.13) для контактного давления в равенство (1.14) при  $t = 0, h(x, 0) = h_0, W(x, 0) = 0$  позволяет получить для начального размера  $a_0 = a(0)$  области контакта уравнение, имеющее вид (1.6). Отметим, что здесь все величины являются детерминированными.

*Замечание.* Для решения задачи об изнашивании покрытия при детерминированной постановке, т.е. при  $X_1 = \hat{X}_1$ ,  $X_2 = \hat{X}_2$ ,  $X_3 = \hat{X}_3$ , недопустимо использовать описанную выше стохастическую модель с функциями плотности вероятности вида (1.10) для всех величин  $X_1, X_2, X_3$ . Действительно, в таком виде стохастическая модель приводит к образованию приработанной лунки износа и, следовательно, к нарушению допущения (1.2).

**2. Численный анализ.** Излагаемый далее материал связан с анализом результатов расчетов процесса изнашивания покрытия в подшипнике. Целью анализа является оценка важности учета случайных изменений температуры и внешней нагрузки для прогнозирования износа и, в частности, долговечности подшипника. Для проведения соответствующих расчетов следует конкретизировать некоторые аспекты описанных выше стохастической и детерминированной моделей процесса изнашивания покрытия.

При выборе параметров материала покрытия для расчетов будем ориентироваться на использование самосмазывающихся композитов, в том числе, на полимерной основе. Подобные композиты успешно используются в качестве антифрикционных материалов в узлах трения, работающих в открытом космосе на околоземных орбитальных станциях в условиях вакуума и при значительных перепадах температуры [6–9].

Как показывают эксперименты [14–16], для полимерных композитов характерно существенное снижение модуля упругости с ростом температуры, которое может достигать нескольких порядков. По этой причине для расчетов воспользуемся экспоненциальной зависимостью [15]

$$E(T) = E_0 \exp(k_E \theta), \quad E_0 = E(T_0) \quad (2.1)$$

с отрицательным параметром  $k_E$ , в которой  $\theta = T - T_0$  – температура, отсчитываемая от нормальной температуры  $T_0$ . Подстановка выражения (2.1) в равенство (1.5) определяет температурную зависимость  $B(T)$  коэффициента податливости покрытия.

Будем использовать линейный закон изнашивания (1.1), т.е. допустим, что

$$F(p, V, T) = \alpha(T)pV$$

где  $\alpha$  – коэффициент износа, величина которого зависит от температуры.

Результаты трибологических испытаний свидетельствуют о том, что с ростом температуры скорость  $dW/dt$  износа полимерных композитов может претерпевать значительные изменения, достигающие нескольких порядков [15, 17–19]. В отличие от температурной зависимости (2.1) модуля упругости, зависимость скорости износа от температуры может быть как возрастающей, так и убывающей. С учетом указанных обстоятельств, примем экспоненциальную зависимость коэффициента износа от температуры:

$$\alpha(T) = \alpha_0 \exp(n_\alpha \theta), \quad \alpha_0 = \alpha(T_0) \quad (2.2)$$

в которой параметр  $n_\alpha$  может принимать как отрицательные, так и положительные значения.

При увеличении температуры подшипника происходит тепловое расширение вала и обоймы, учитываемое в равенстве (1.4). В рассматриваемом случае тонкого и мягкого покрытия можно пренебречь его влиянием на расширение обоймы, полагая [10, 20]:

$$R_i(T) = R_{i0}(1 + k_i \theta), \quad R_{i0} = R_i(T_0), \quad i = a, b \quad (2.3)$$

где  $k_a$  и  $k_b$  – коэффициенты линейного теплового расширения вала и обоймы. Отметим, что, если в подшипнике вместо тонкого покрытия используется толстый вкладыш, то для определения теплового расширения обоймы следует использовать решение соответствующей термоупругой задачи [10].

Для функции плотности вероятности  $\rho(X, t)$  случайных величин  $X_1, X_2, X_3$  воспользуемся выражением (1.9), считая эти величины независимыми и стационарными во времени. Соответствующие функции плотности вероятности зададим выражениями

$$\rho_1(X_1) = \frac{1}{T^+ - T^-}, \quad X_1 = T \in [T^-, T^+] \quad (2.4)$$

$$\rho_2(X_2) = \frac{1}{2\pi A_\xi} (\cos X_2 + A_\xi), \quad A_\xi \geq 1, \quad X_2 = \xi \in [-\pi, \pi] \quad (2.5)$$

$$\rho_3(X_3) = \frac{1}{Q_m A_Q} (\cos S + A_Q), \quad S = 2\pi \frac{X_3 - Q_m/2}{Q_m}, \quad A_Q \geq 1, \quad X_3 = Q \in [0, Q_m] \quad (2.6)$$

в которых параметры  $T^+$  и  $Q_m$  определяют диапазоны изменений температуры  $T$  и нагрузки  $Q$ . Выражения (2.4)–(2.6) удовлетворяют нормировочному условию, налагаемому на функцию плотности вероятности [11], а определяемые по ним средние значения случайных величин  $X_1, X_2, X_3$  составляют:

$$\bar{X}_1 = \bar{T} = (T^- + T^+)/2, \quad \bar{X}_2 = \bar{\xi} = 0, \quad \bar{X}_3 = \bar{Q} = Q_m/2$$

Отметим, что функция  $\rho_1(X_1)$  вида (2.4) описывает равновероятное распределение температуры  $T = X_1$ , тогда как функции  $\rho_2(X_2)$  и  $\rho_3(X_3)$  вида (2.5) и (2.6) допускают повышенную вероятность значений угла  $\xi = X_2$  и нагрузки  $Q = X_3$  вблизи их средних значений 0 и  $Q_m/2$  соответственно.

С учетом экспериментальных данных по полимерным композитам из упомянутых выше литературных источников, для расчетов процесса изнашивания покрытия были выбраны следующие значения трибофизических параметров:

$E = 1 \text{ ГПа}$ ,  $v = 0.3$ ,  $k_E = -0.01 \text{ К}^{-1}$ ,  $\alpha_0 = 10^{-15} \text{ Па}^{-1}$ ,  $n_\alpha = 0.02 \text{ К}^{-1}$ ,  $k_a = 2 \times 10^{-5} \text{ К}^{-1}$ ,  $k_b = 3 \times 10^{-5} \text{ К}^{-1}$ ,  $T_0 = 293 \text{ К}$  ( $20^\circ\text{C}$ ).

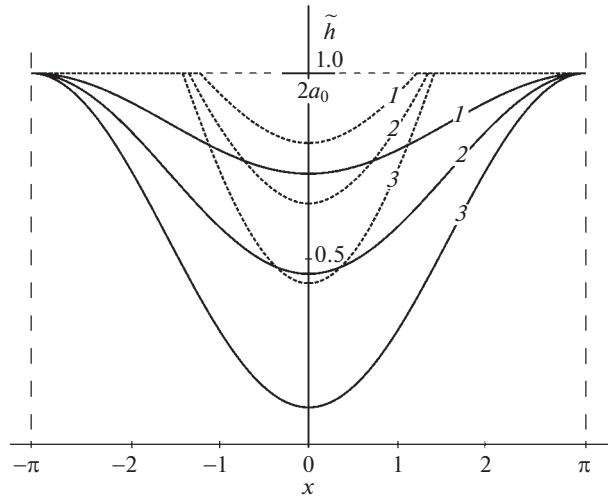
Геометрические параметры подшипника и условия его работы определялись значениями

$h_0 = 0.5 \text{ мм}$ ,  $R_{a0} = 10 \text{ мм}$ ,  $R_{b0} = 10.55 \text{ мм}$ ,  $\omega = 2\pi \text{ с}^{-1}$ ,  $A_\xi = 1$  или  $2$ ,  $A_Q = 1$ ,  $Q_m = 50 \text{ кН/м}$ ,  $\bar{Q} = 25 \text{ кН/м}$ ,  $T^- = 143 \text{ К}$  ( $-130^\circ\text{C}$ ),  $T^+ = 443 \text{ К}$  ( $170^\circ\text{C}$ ),  $\bar{T} = T_0$ .

Отметим, что при выбранных значениях  $h_0$ ,  $R_{a0}$ ,  $R_{b0}$  начальный зазор подшипника составляет  $\Delta_0 = R_{b0} - R_{a0} - h_0 = 0.05 \text{ мм}$ , а указанные значения коэффициентов линейного теплового расширения вала  $k_a$  и обоймы  $k_b$  характерны для алюминиевых и магниевых сплавов [21]. Выбранный диапазон изменения температуры соответствует условиям работы узлов трения в открытом космосе на околоземных орбитальных станциях.

В качестве оценки коэффициента  $k_c$  линейного теплового расширения полимерных композитов можно использовать значение  $10^{-5} \text{ К}^{-1}$  [21]. При таком значении  $k_c$  и выбранном диапазоне изменения температуры относительное изменение толщины  $h$  покрытия из полимерного композита в результате теплового расширения не превышает  $\pm 1.5 \times 10^{-3}$ , а относительное изменение зазора  $\Delta$  не превышает  $\pm 2.5 \times 10^{-2}$ . Приведенные оценки обосновывают сделанное в предыдущем разделе допущение о возможности не учитывать изменение толщины  $h$  покрытия, обусловленное тепловым расширением.

Расчеты процесса изнашивания покрытия проводились с использованием стохастической (1.3)–(1.6), (1.8) и детерминированной (1.1), (1.13), (1.14) моделей. Численное решение соответствующих дифференциальных уравнений строилось на основе явной по времени разностной схемы [22], при этом для детерминированной постанов-



**Рис. 2.** Профили изношенного покрытия в различные моменты времени  $\tilde{t}$ : 8.03 (1), 16.1 (2), 26.8 (3) (стохастическая постановка задачи,  $A_\xi = 1$ ). Штриховыми линиями показаны профили изношенного покрытия в те же моменты времени при детерминированной постановке задачи.

ки задачи монотонно возрастающий размер  $a$  области контакта использовался в качестве временного параметра [3].

С целью оценки важности учета случайных изменений температуры и внешней нагрузки при расчете износа покрытия, рассматривались различные варианты с одной или двумя постоянными величинами из числа  $T, \xi, Q$ . Для таких величин использовались соответствующие представления (1.10) функции плотности вероятности. Для варианта, допускающего постоянство всех трех величин  $T, \xi, Q$ , расчет процесса изнашивания проводился на основе детерминированной модели.

Полученные результаты расчетов представлены ниже с использованием безразмерных величин  $\tilde{h} = h/h_0$  и  $\tilde{t} = t/t_c$ ,  $t_c = 10^5$  с  $\approx 27.8$  ч.

На рис. 2 показаны профили изношенного покрытия в различные моменты времени  $\tilde{t}$ : 8.03 (1), 16.1 (2), 26.8 (3). Расчеты проводились в предположении, что все величины  $T, \xi, Q$  случайные с функциями плотности вероятности вида (2.4)–(2.6) и  $A_\xi = 1$ . Для сравнения пунктирными линиями показаны профили изношенного покрытия в те же моменты времени, но при постоянных значениях  $T = \bar{T}$ ,  $\xi = \bar{\xi} = 0$ ,  $Q = \bar{Q}$ . Соответствующая этим значениям начальная длина  $2a_0 = 0.601$  области контакта обозначена на рисунке отдельным отрезком.

На рис. 3 показаны профили изношенного покрытия в различные моменты времени  $\tilde{t}$ : 10.7 (1), 21.4 (2), 35.8 (3). Все величины  $T, \xi, Q$  здесь считались случайными, однако, в отличие от рис. 2, расчеты проводились при  $A_\xi = 2$ .

В таблице представлены значения долговечности  $\tilde{t}_* = t_*/t_c$  покрытия, определяемой из условия (1.12), для вариантов с различными сочетаниями постоянных и случайных величин из числа  $T, \xi, Q$ . Постоянный характер величины при этом отмечается символом “с”, а случайный – символом “г”. Для сравнения в таблице указана дол-

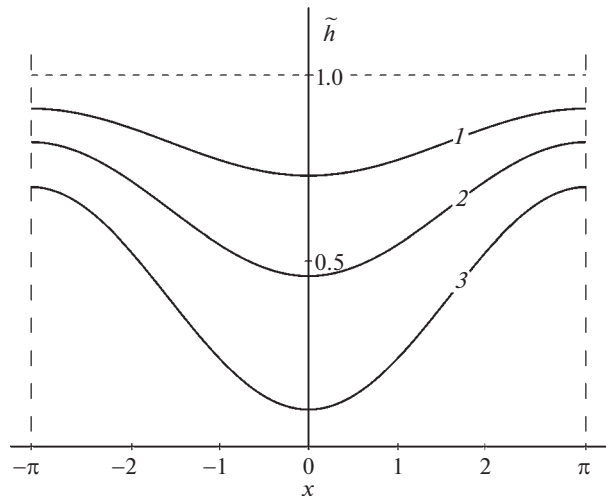


Рис. 3. Профили изношенного покрытия в различные моменты времени  $\tilde{t}$ : 10.7 (1), 21.4 (2), 35.8 (3) (стохастическая постановка задачи,  $A_\xi = 2$ ).

говечность покрытия при всех трех постоянных величинах  $T, \xi, Q$ , рассчитанная на основе детерминированной модели (вариант 4).

**3. Обсуждение результатов.** Представленные на рис. 2 и 3 графики показывают, что максимальное изнашивание покрытия, как и следовало ожидать, происходит при  $x = 0$ , т.е. в центральной части подшипника. Именно эта часть, согласно выражению (2.5), с наибольшей вероятностью подвержена контактному взаимодействию с валом. При детерминированной постановке задачи износ покрытия также концентрируется в центральной части подшипника в направлении  $\xi = 0$  ( $x = 0$ ) приложения постоянной нагрузки  $Q$  (пунктирные линии на рис. 2). Однако в отличие от стохастической постановки задачи, здесь износ носит локальный характер и представляет собой монотонно растущую лунку износа.

Сопоставление сплошных линий (стохастическая постановка задачи) и соответствующих им по времени пунктирных линий (детерминированная постановка задачи) на рис. 2, а также вариантов 3 и 4 в таблице позволяет сделать общий вывод о важности учета факторов случайности величин  $T, \xi, Q$  при расчете износа подшипника. Действительно, использование детерминированной модели (вариант 4) приводит к оценке долговечности  $t_*$  покрытия в 1.63 раза завышенной по сравнению с оценкой по стохастической модели (вариант 3).

Наиболее значимым представляется фактор случайности направления  $\xi$  внешней нагрузки. Это проявляется, например, в том, что значение параметра  $A_\xi$  функции плотности вероятности (2.5) величины  $\xi$  оказывает качественное влияние на распределение износа по поверхности покрытия (рис. 2 и 3) и существенно влияет на оценку долговечности  $t_*$  покрытия (таблица). Однако фактор случайности величины нагрузки  $Q$  представляется малозначимым. Например, сравнение вариантов 2 и 3 таблицы показывает, что учет случайного изменения величины нагрузки  $Q$  не оказывает заметного влияния на оценку долговечности  $t_*$  покрытия.

Существенное влияние на результаты расчета износа покрытия оказывает фактор случайности температуры  $T$  – это, например, следует из сравнения значений долго-

**Таблица 1.** Значения долговечности покрытия для различных вариантов изменения температуры и нагрузки

№ варианта	$T$	$\xi$	$Q$	$A_{\xi} = 1$	$A_{\xi} = 2$
1	с	г	г	100.44	133.93
2	г	г	с	29.82	39.75
3	г	г	г	29.85	39.80
4	с	с	с	48.66	48.66

вечности  $t_*$  покрытия для вариантов 1 и 3 таблицы. Такое влияние обусловлено тем, что модуль упругости  $E$  и коэффициент износа  $\alpha$  в значительной степени зависят от температуры согласно равенствам (2.1) и (2.2).

**4. Выводы.** 1. Предложена стохастическая модель процесса изнашивания тонкого покрытия в радиальном подшипнике скольжения, учитывающая случайные изменения температуры подшипника и внешней нагрузки.

2. Выполнен численный анализ процесса изнашивания покрытия, ориентированный на условия работы узлов трения в открытом космосе на околоземных орбитальных станциях.

3. Дана оценка значимости факторов случайного изменения температуры и внешней нагрузки при расчете износа подшипника. В частности, установлено, что наибольшую значимость имеют факторы случайности температуры подшипника и направления внешней нагрузки.

Работа выполнена при финансовой поддержке Российского научного фонда, грант № 22-49-02010.

#### СПИСОК ЛИТЕРАТУРЫ

1. Крагельский И.В., Добычин М.Н., Комбалов В.С. Основы расчетов на трение и износ. М.: Машиностроение, 1977. 526 с.
2. Горячева И.Г., Добычин М.Н. Контактные задачи в трибологии. М.: Машиностроение, 1988. 254 с.
3. Солдатенков И.А. Износоконтактная задача с приложениями к инженерному расчету износа. М.: Физматкнига, 2010. 160 с.
4. Jang J.Y., Khonsari M.M. On the characteristics of misaligned journal bearings // Lubricants. 2015. V. 3. P. 27–53.  
<https://doi.org/10.3390/lubricants3010027>
5. Sano T., Nakasone T., Katagiri T., Okamoto Y. A Study on wear progress of plain bearing under mixed lubrication condition // SAE Int. J. Eng. 2011. V. 4. P. 569–580.  
<https://doi.org/10.4271/2011-01-0609>
6. Маленков М.И., Карамушин С.И., Тарасов В.М. Конструкционные и смазочные материалы космических механизмов. СПб.: Балт. гос. техн. ун-т, 2007. 54 с.
7. Spacecraft Systems Engineering / Ed. P. Fortescue, G. Swinerd, J. Stark. Chichester: John Wiley & Sons, 2011.
8. Броновец М.А. Трибология и космические транспортные системы // Вестн. РГУПС. 2017. № 1. С. 18–23.
9. Мышкин Н.К., Григорьев А.Я., Басинюк В.Л., Мардоевич Е.И., Ковалчук Г.Ф., Папина С.С., Ковалева И.Н., Кудрицкий В.Г. Космическая трибология: состояние и перспективы // Механика машин, механизмов и материалов. 2012. № 3–4 (20–21). С. 126–130.
10. Александров В.М., Броновец М.А., Солдатенков И.А. Математическое моделирование изнашивания подшипника скольжения в условиях открытого космоса // Трение и износ. 2008. Т. 29. № 3. С. 238–245.

11. Вентцель Е.С., Овчаров Л.А. Теория вероятности и ее инженерные приложения. М.: Наука, 1988. 480 с.
12. Вентцель Е.С., Овчаров Л.А. Теория случайных процессов и ее инженерные приложения. М.: Высшая школа, 2000. 384 с.
13. Механика контактных взаимодействий / Под ред. И.И. Воровича, В.М. Александрова. М.: Физматлит, 2001. 670 с.
14. Friedrich K., Schlarb A.K. Tribology of Polymeric Nanocomposites // Amsterdam: Elsevier, 2008.
15. Polymer Tribology / Ed. S. K. Sinha, B. J. Briscoe. London: Imperial College Press, 2009.
16. Дисперсно-наполненные полимерные композиты технического и медицинского назначения / Под ред. А.В. Герасимова. Новосибирск: Изд-во СО РАН, 2017. 311 с.
17. Бартенев Г.М., Лаврентьев В.В. Трение и износ полимеров. Л.: Химия, 1972. 240 с.
18. Fusaro R.L., Sliney H.E. Lubricating characteristics of polyimide bonded graphite fluoride and polyimide thin films // ASLE Trans. 1973. V. 16. P. 189–196.  
<https://doi.org/10.1080/05698197308982721>
19. Burris D.L. Investigation of the tribological behavior of polytetrafluoroethylene at cryogenic temperatures // Tribology Trans. 2008. V. 51. P. 92–100.  
<https://doi.org/10.1080/10402000701660618>
20. Кикоин А.К., Кикоин И.К. Молекулярная физика. М.: Наука, 1976. 480 с.
21. Физические величины: справочник / Под ред. И.С. Григорьева, Е.З. Мейлихова. М.: Энерготомиздат, 1991. 1232 с.
22. Калиткин Н.Н. Численные методы. 2-е изд. СПб.: БХВ-Петербург, 2011. 586 с.